

Dormancia en frutales caducifolios – Perspectivas para el cultivo en un clima cambiante

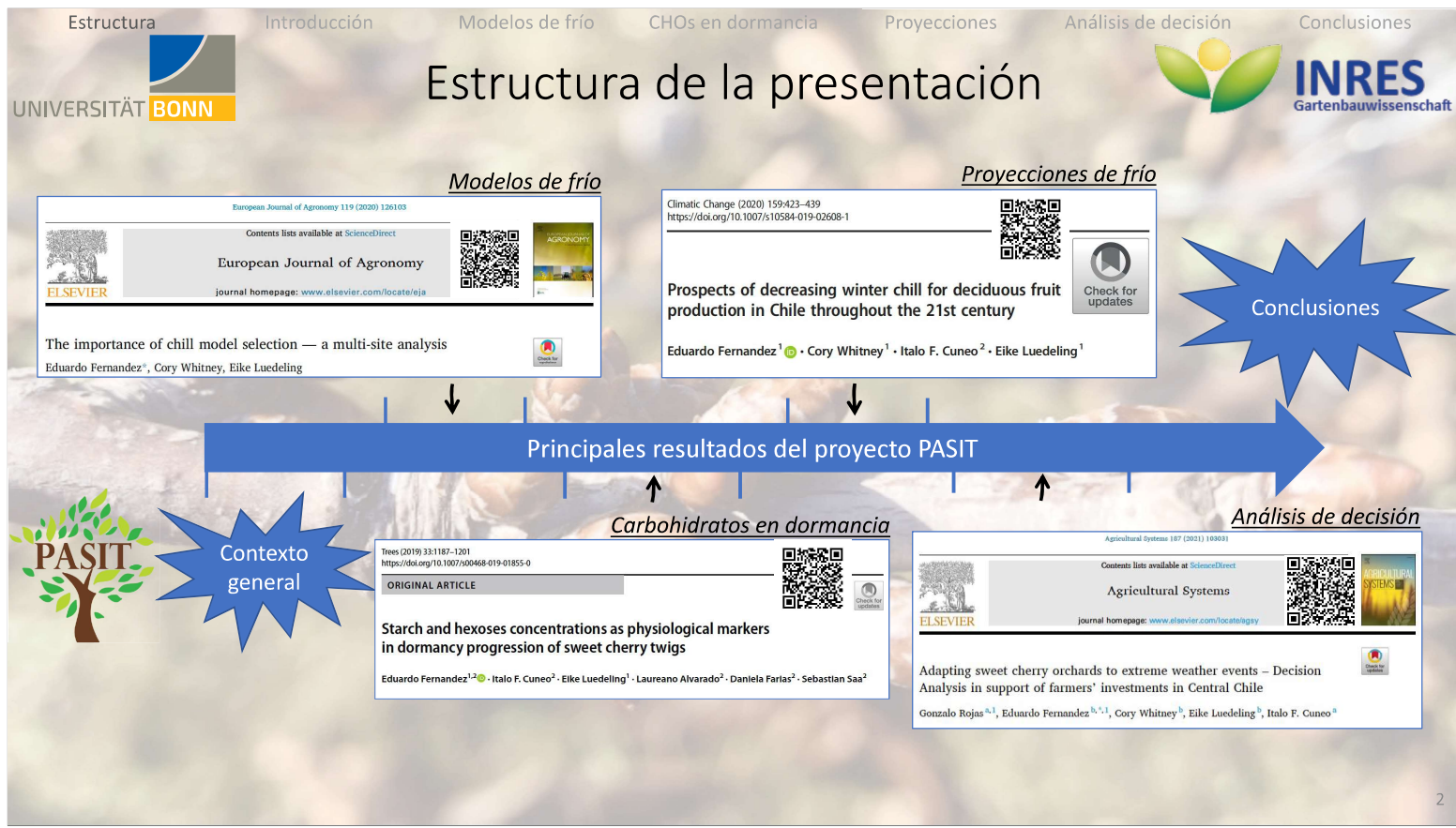
Principales resultados del proyecto *Phenological And Social Impacts of Temperature increase: climatic consequences for fruit production in Tunisia, Chile and Germany (PASIT)*

Dr. Agr. Eduardo Fernández

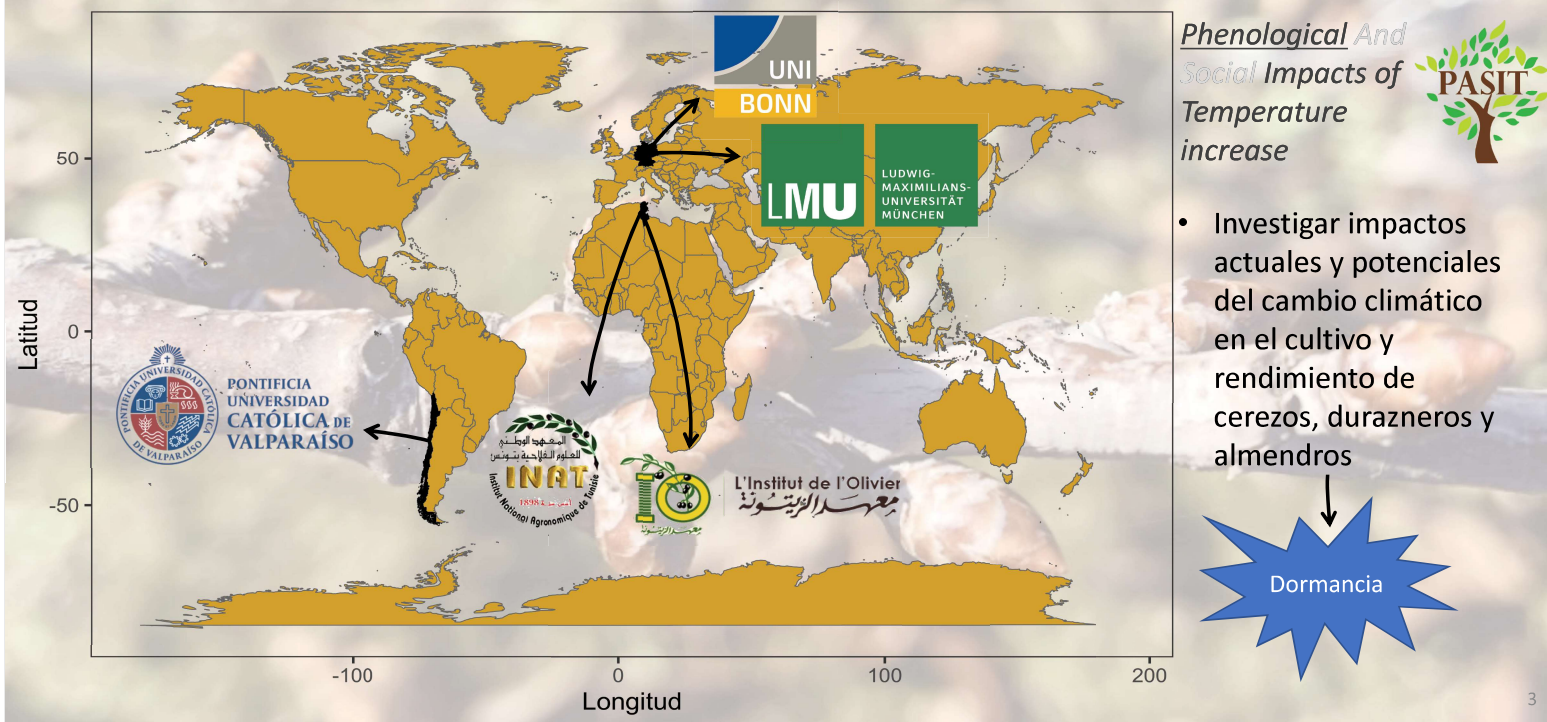
Department of Horticultural Science, Institute of Crop Science and Resource Conservation (INRES), University of Bonn



Martes 28 de Septiembre de 2021

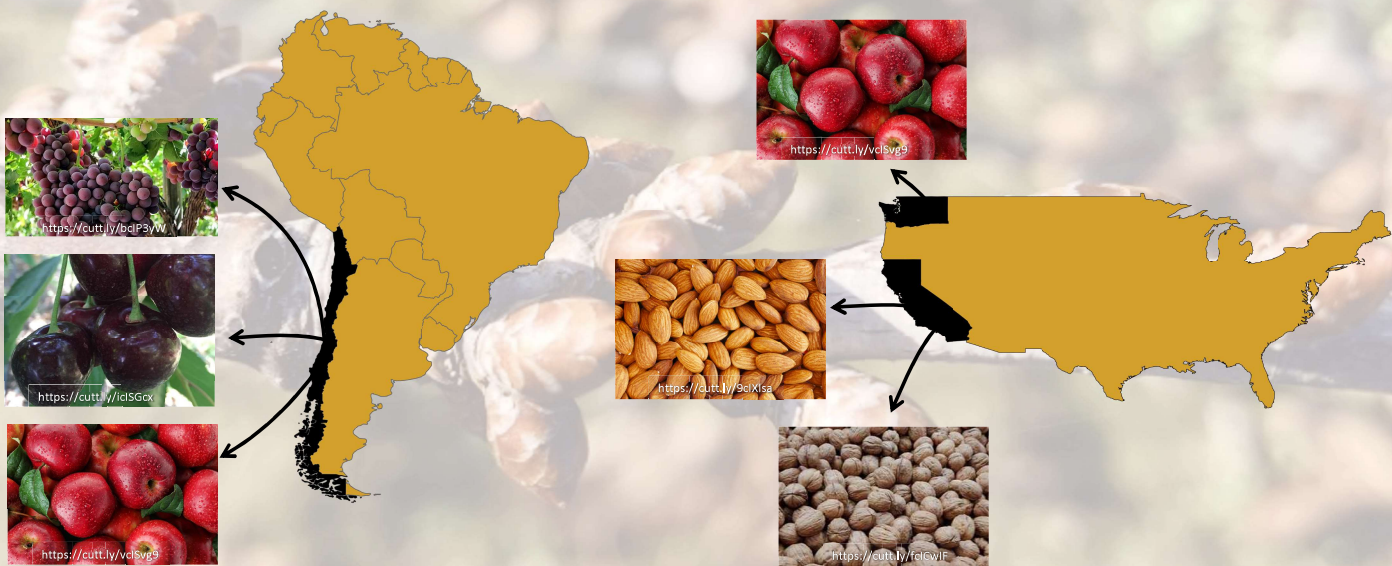


El proyecto PASIT

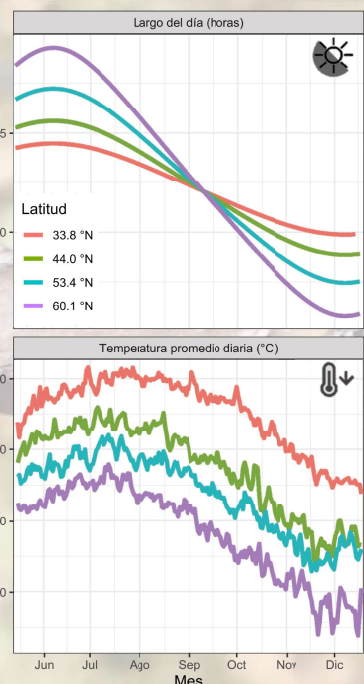


Importancia de los frutales caducos

- En 2018, frutas originarias de clima temperado contribuyeron con aproximadamente el 48% de la producción total de fruta (FAOSTAT, 2020)



El estado de dormancia



- El estado de dormancia protege los meristemas dentro de las yemas y otras estructuras de crecimiento (Lang et al. 1987)

Lang, G.A., Early, J.D., Martin, G.C., and Darnell, R.L. 1987. *HortScience* 22, 371-377

5

Requerimiento de frío y calor



Modificado de Kaufmann and Blanke (2017)

- Endo-dormancia es asociada con acumulación de frío (Requerimiento de frío - RF)
- Eco-dormancia es asociada con la acumulación de calor (Requerimiento de calor - RC)

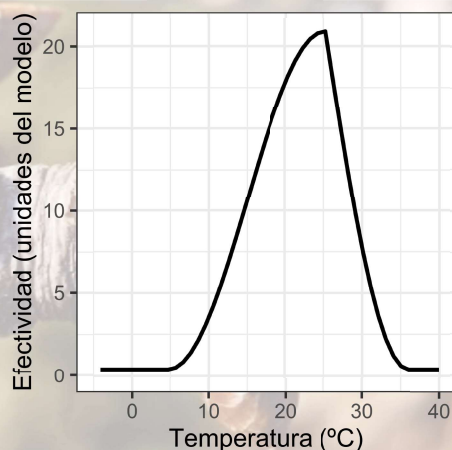


Kaufmann, H., and Blanke, M. 2017. *J. Plant Physiol.* 218, 1-5

6

Cuantificación de requerimientos

- El modelo de calor más usado es el modelo **Horas grado de crecimiento o Growing Degree Hours - GDH** (Anderson et al. 1986)



- Ampliamente usado en diversas áreas de estudio
- Bien establecido en el área de dormancia



Anderson, J.L., Richardson, E.A., and Kesner, C.D. 1986. Acta Hortic. 184, 71-78

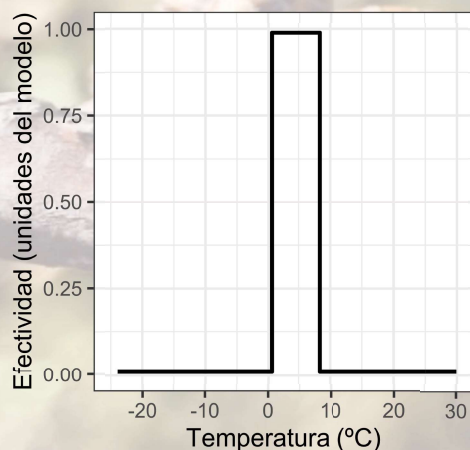
7

Cuantificación de requerimientos

- Existen tres modelos ampliamente utilizados en agricultura para estimar la acumulación de frío

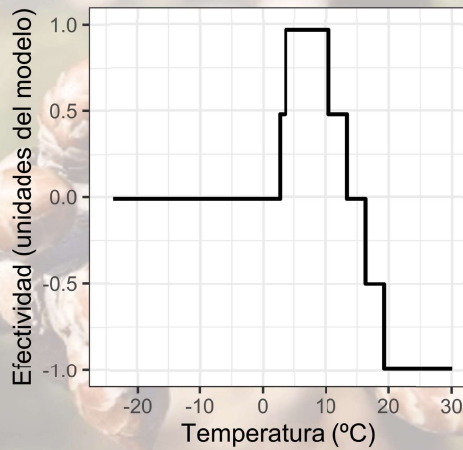
1) Horas frío o Chilling Hours

(Hutchins 1932 citado por Weinberger 1950)



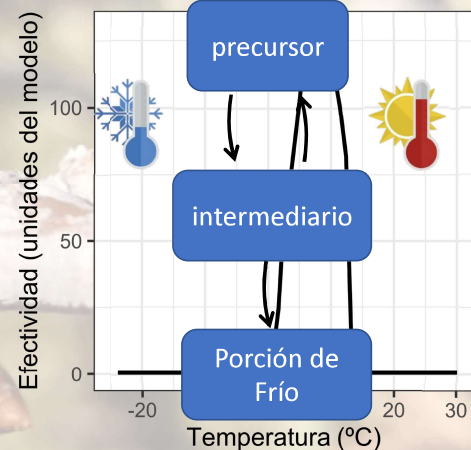
2) Utah

(Richardson et al. 1974)



3) Dinámico o Dynamic

(Fishman et al. 1987a,b; Erez et al. 1990)



Erez, A., Fishman, S., Linsley-Noakes, G.C., and Allan, P. 1990. Acta Hort. 276, 165-174

Fishman, S., Erez, A., and Couvillon, G.A. 1987a. J. Theor. Biol. 126(3), 309-321

Fishman, S., Erez, A., and Couvillon, G.A. 1987b. J. Theor. Biol. 124(4), 473-483

Richardson, E.A., Seeley, S.D., and Walker, D.R. 1974. HortScience 1, 331-332

Weinberger, J.H. 1950. Proc. Am. Soc. Hortic. Sci. 56, 122-128

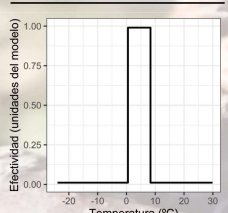
8

Problemas de los modelos de frío

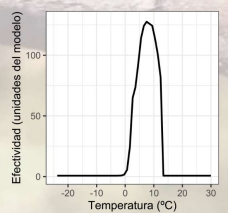


- Los modelos de frío no son intercambiables (Luedeling and Brown 2011)

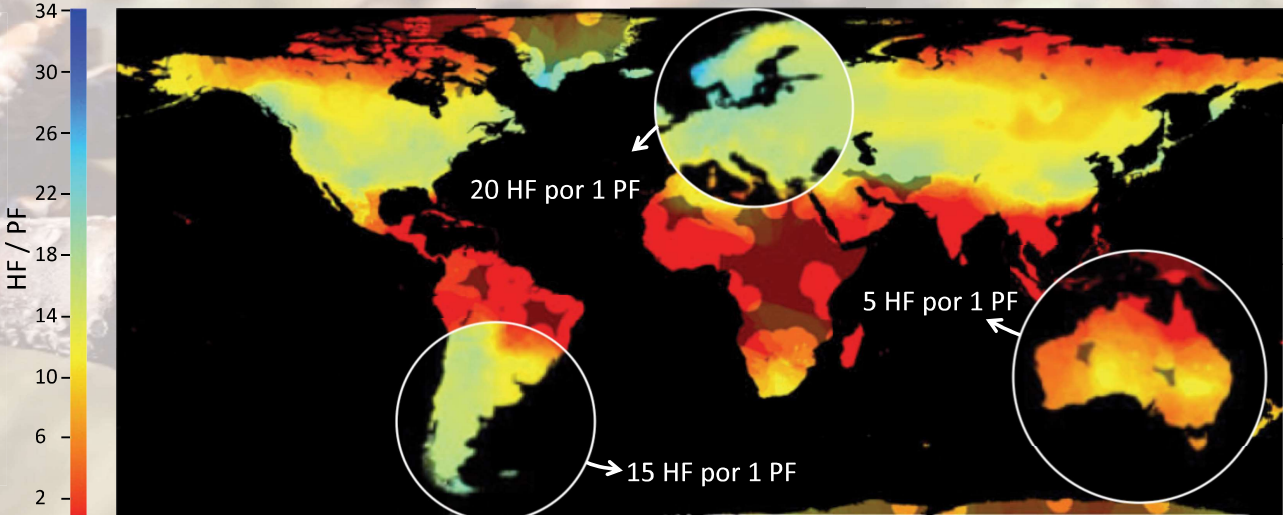
Modelo horas frío



VS



Modelo dinámico



El modelo que usamos importa!

Luedeling, E., and Brown, P. 2011. Int. J. Biometeorol. 55, 411-421



Comparación de modelos de frío

- Diversos estudios sugieren que el modelo **dinámico** es el más *confiable* para estimar la acumulación de frío (Luedeling et al. 2009; Zhang and Taylor 2011)



The Horticulture Journal 87 (2): 166–173, 2018.
doi: 10.2503/hortj.OKD-089

Predicted Effects of Climate Change on Winter Chill Accumulation by Temperate Trees in South Korea

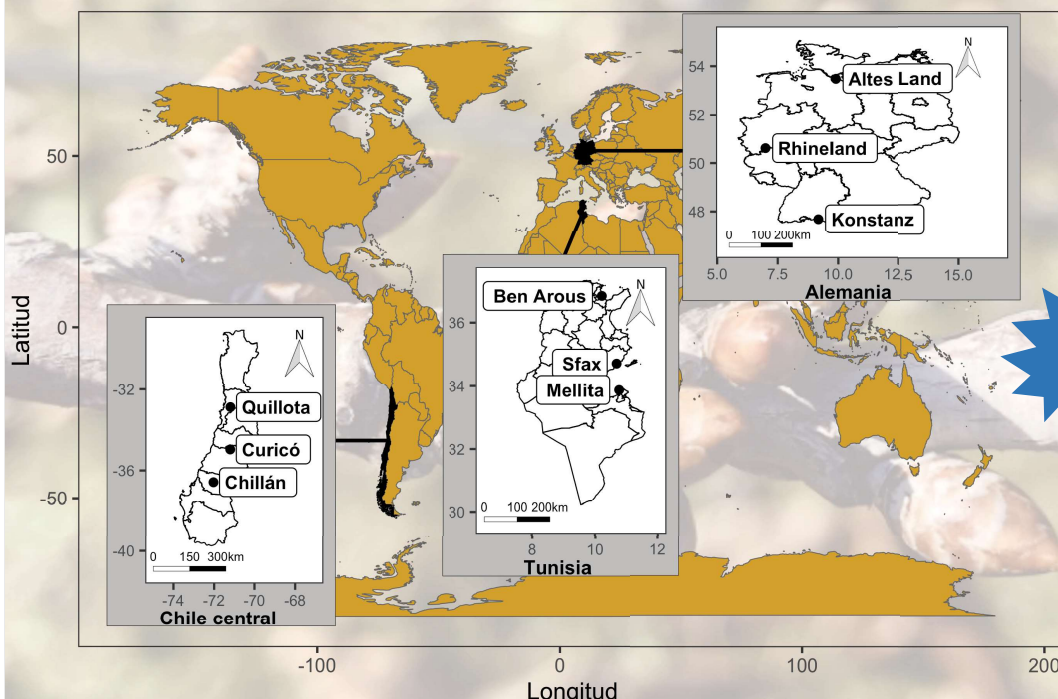
2018

YoSup Park¹, ByulHaNa Lee^{2*} and Hee-Seung Park¹



➤ **Presentar un análisis actualizado del comportamiento de diferentes modelos en escenarios históricos y futuros en tres países**

Comparación de modelos de frío



➤ Datos climáticos 1973 – 2017

➤ Generamos datos de 100 temporadas usando 10 escenarios históricos y 60 escenarios futuros

RCP4.5
y
RCP8.5

2050 y
2085

15
modelos
climáticos

➤ Calculamos acumulación de frío para los escenarios

13
modelos
de frío

11

Comparación de modelos de frío

- Usamos 13 modelos de frío en este estudio

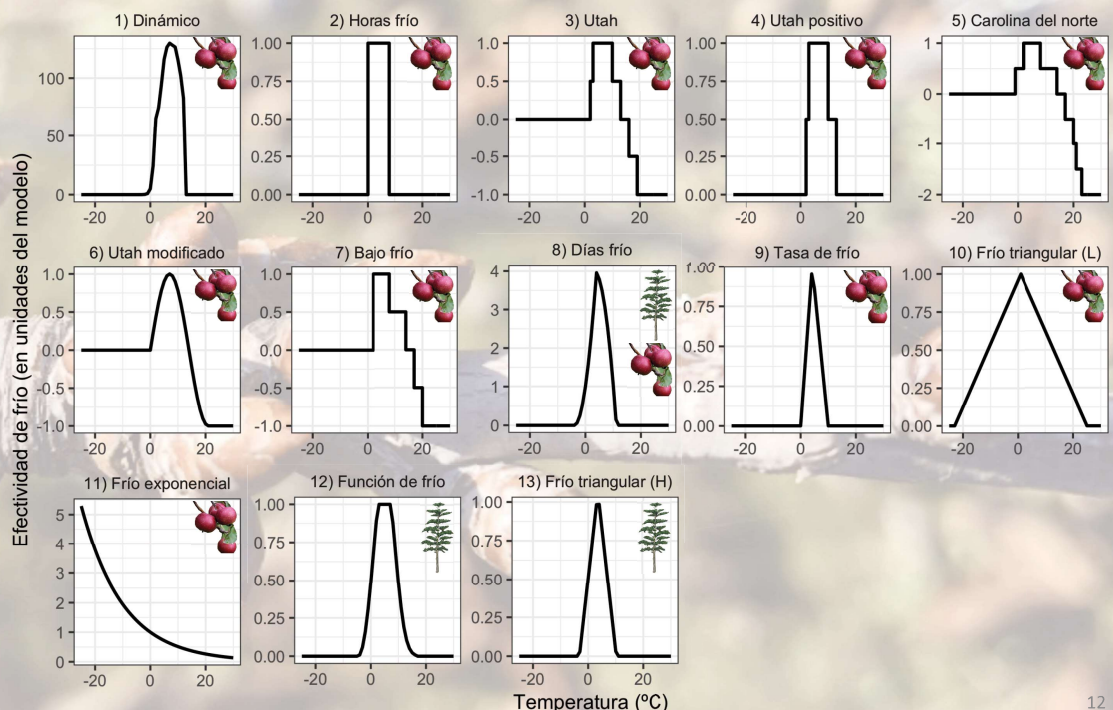
➤ 10 modelos agrícolas



➤ 2 modelos forestales

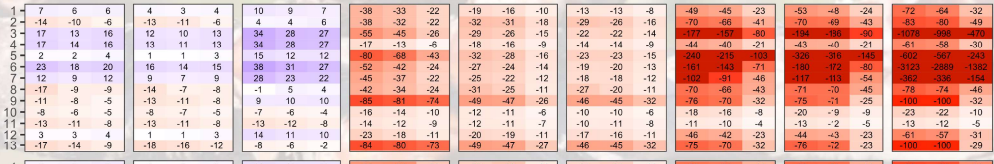
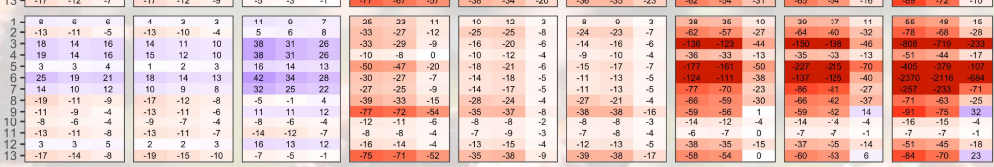


➤ 1 modelo usado en ambas áreas



12

Comparación de modelos de frío



Modelo de frío

1 - Dinámico	6 - Utah modificado	11 - Frio exponencial	16 - Función de frío (H)
2 - Horas frío	7 - Bajo frío	12 - Función de frío (H)	17 - Frio triangular (H)
3 - Utah	8 - Días frío	13 - Frio triangular (H)	18 - Tasa de frío
4 - Utah positivo	9 - Tasa de frío	19 - Frio triangular (L)	20 - Frio triangular (L)
5 - Carolina del norte	10 - Frio triangular (L)		

Friό relativo al período
1974 - 2016 (%)

< -100 -100 -50 0 50 100

Modelo climático

Promedio 2081-2100

2.6 – 4.8 °C

2085

1.1 – 2.6 °C

2050

32

42

39

IPCC (2013)

2050

2085

2100

Promedio

2081-2100

2.6 – 4.8 °C

2050

1.1 – 2.6 °C

2085

2100

Promedio

2081-2100

2.6 – 4.8 °C

2050

1.1 – 2.6 °C

2085

2100

Promedio

2081-2100

2.6 – 4.8 °C

2050

1.1 – 2.6 °C

2085

2100

Promedio

2081-2100

2.6 – 4.8 °C

2050

1.1 – 2.6 °C

2085

2100

Promedio

2081-2100

2.6 – 4.8 °C

2050

1.1 – 2.6 °C

2085

2100

Promedio

2081-2100

2.6 – 4.8 °C

2050

1.1 – 2.6 °C

2085

2100

Promedio

2081-2100

2.6 – 4.8 °C

2050

1.1 – 2.6 °C

2085

2100

Promedio

2081-2100

2.6 – 4.8 °C

2050

1.1 – 2.6 °C

2085

2100

Promedio

2081-2100

2.6 – 4.8 °C

2050

1.1 – 2.6 °C

2085

2100

Promedio

2081-2100

2.6 – 4.8 °C

2050

Comparación de modelos de frío

UNIVERSITÄT BONN


INRES
 Gartenbauwissenschaft

	Altes Land	Rheinland	Konstanz	Quillota	Curicó	Chillán	Ben Arous	Sfax	Mellita
1	7 5 5	4 3 3	10 7 6	-29 -24 -11	-13 -13 -5	-9 -9 -5	-40 -33 -23	-43 -36 -22	-58 -49 -26
2	-13 -8 -4	-11 -8 -4	-12 -8 -4	-30 -22 -12	-25 -22 -12	-21 -19 -11	-62 -54 -42	-63 -57 -39	-75 -65 -40
3	17 12 14	12 9 10	33 22 19	-30 -22 -9	-25 -22 -9	-18 -16 -10	-62 -54 -42	-63 -57 -39	-75 -65 -40
4	17 12 14	13 9 10	33 22 19	-30 -22 -9	-25 -22 -9	-18 -16 -10	-37 -31 -21	-36 -30 -17	-51 -43 -24
5	2 2 4	1 2 2	15 10 11	-56 -45 -21	-22 -20 -10	-16 -17 -11	-194 -149 -86	-298 -214 -113	-475 -374 -175
6	22 15 16	16 11 13	36 25 21	-34 -24 -7	-19 -18 -7	-12 -14 -7	-131 -103 -63	-147 -120 -63	-251 -202 -1084
7	9 9 10	9 7 8	27 19 17	-31 -24 -9	-17 -17 -7	-13 -13 -7	-83 -65 -39	-96 -78 -28	-287 -229 -116
8	-14 -4 -3	-12 -4 -3	-12 -4 -3	-12 -10 -6	-9 -8 -4	-7 -7 -4	-15 -12 -7	-16 -13 -7	-19 -15 -7
9	-10 -5 -4	-12 -8 -5	11 10 11	-11 -10 -6	-9 -8 -4	-8 -8 -4	-10 -8 -4	-10 -8 -4	-10 -8 -4
10	-8 -5 -4	-8 -5 -4	-5 -4 -4	-12 -10 -6	-9 -8 -4	-7 -7 -4	-12 -10 -6	-13 -10 -6	-13 -10 -6
11	-13 -8 -7	-19 -8 -6	-19 -8 -6	-19 -12 -4	-14 -13 -4	-14 -13 -4	-38 -34 -23	-39 -32 -23	-38 -33 -19
12	3 3 4	1 3 3	14 9 10	-16 -12 -4	-14 -13 -4	-12 -13 -4	-62 -54 -31	-65 -54 -16	-51 -44 -25
13	-17 -12 -7	-17 -12 -7	-17 -12 -7	-17 -12 -7	-17 -12 -7	-17 -12 -7	-88 -72 -10	-88 -72 -10	-88 -72 -10

RCP4.5 2050

RCP4.5 2085

RCP8.5 2050

RCP8.5 2085

1	-22	-19	-20
2	-20	-21	-20
3	-20	-20	-22
4	-19	-20	-21
5	-20	-22	-20
6	-21	-19	-19
7	-19	-20	-20
8	-17	-21	-19
9	-20	-19	-20
10	-20	-20	-20
11	-20	-20	-19
12	-19	-20	-21
13	-20	-20	-21

a b c

Df Sum Sq

Site 8 228274 46.5%

Scenario 3 3404 2151

Climate Model 14 2151 12

Chill Model 12 256637 52.3%

Residuals 704302 229733

	Altes Land	Rheinland	Konstanz	Quillota	Curicó	Chillán	Ben Arous	Sfax	Mellita
1	7	5	5	4	3	3	10	7	6
2	-13	-11	-8	-11	-3	-5	-22	-12	-11
3	-19	-17	-14	-19	-12	-15	-23	-10	-10
4	17	12	14	13	9	10	33	22	19
5	2	2	4	1	2	2	15	10	11
6	22	15	16	16	11	13	36	25	21
7	9	9	10	9	8	8	27	19	17
8	-14	-14	-14	-13	-6	-4	-4	-4	-4
9	-10	-6	-3	-12	-8	-5	11	10	11
10	-8	-5	-4	-12	-6	-4	-3	-2	-2
11	-13	-8	-7	-12	-8	-6	-10	-8	-5
12	3	1	3	14	9	10	-16	-14	-13
13	-17	-12	-7	-17	-12	-9	-3	-7	-7

	Altes Land	Rheinland	Konstanz	Quillota	Curicó	Chillán	Ben Arous	Sfax	Mellita
1	7	5	5	4	3	3	10	7	6
2	-13	-11	-8	-11	-3	-5	-22	-12	-11
3	-19	-17	-14	-19	-12	-15	-23	-10	-10
4	19	14	16	15	12	10	38	31	26
5	3	3	4	1	2	3	16	13	13
6	25	19	21	18	14	13	42	34	28
7	14	12	12	10	9	8	32	25	27
8	-19	-11	-9	-17	-12	-8	-5	-1	4
9	-11	-9	-4	-13	-11	-6	11	11	12
10	-8	-6	-4	-9	-7	-4	-6	-4	-4
11	-13	-10	-10	-13	-11	-7	-14	-12	-7
12	3	5	5	2	3	16	13	12	-16
13	-17	-14	-8	-19	-15	-10	-7	-5	-1

	Altes Land	Rheinland	Konstanz	Quillota	Curicó	Chillán	Ben Arous	Sfax	Mellita
1	7	6	6	4	3	3	11	9	7
2	-13	-10	-4	-13	-10	-8	-25	-23	-11
3	-19	-15	-14	-18	-10	-31	-26	-20	-10
4	19	14	16	15	12	10	38	31	26
5	3	3	4	1	2	3	16	13	13
6	25	19	21	18	14	13	42	34	28
7	14	12	12	10	9	8	32	25	27
8	-19	-11	-9	-17	-12	-8	-5	-1	4
9	-11	-9	-4	-13	-11	-6	11	11	12
10	-8	-6	-4	-9	-7	-4	-6	-4	-4
11	-13	-10	-10	-13	-11	-7	-14	-12	-7
12	3	5	5	2	3	16	13	12	-16
13	-17	-14	-8	-19	-15	-10	-7	-5	-1

	Altes Land	Rheinland	Konstanz	Quillota	Curicó	Chillán	Ben Arous	Sfax	Mellita
1	7	6	6	4	3	3	10	7	6
2	-13	-10	-4	-13	-10	-8	-25	-23	-11
3	-19	-15	-14	-18	-10	-31	-26	-20	-10
4	17	14	16	13	11	13	34	28	27
5	3	3	4	1	2	3	16	13	13
6	23	19	20	16	15	13	38	30	27
7	12	9	12	9	7	9	28	23	22
8	-17	-9	-9	-14	-7	-8	-1	5	4
9	-11	-8	-6	-13	-11	-9	10	10	9
10	-8	-6	-4	-12	-7	-5	4	4	4
11	-13	-10	-10	-13	-12	-9	14	14	9
12	3	3	4	1	1	3	14	11	10
13	-17	-14	-8	-19	-15	-10	-23	-18	-11

Modelo de frío

6 - Utah modificado

11 - Frio exponencial

7 - Bajo frío

12 - Función de frío (H)

8 - Días frío

13 - Frio triangular (H)

9 - Tasa de frío

10 - Frio triangular (L)

5 - Carolina del norte

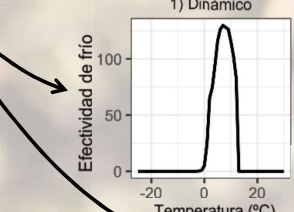
L



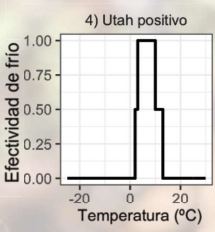
a - Pessimista:
CanESM2
CSIRO-Mk3-2-0
MIROC-ESM
GFDL-CM3
BNU-ESM
CNRM-CM5

b - Moderado:
CESM1-BGC
ACCESS1-0
IPSL-CM5A-LR
IPSL-CM5A-MR
bcc-csm1-1
CCSM4

c - Optimista:
HadCM3
GFDL-ESM2G
GFDL-ESM2M



RCP4.5 2085



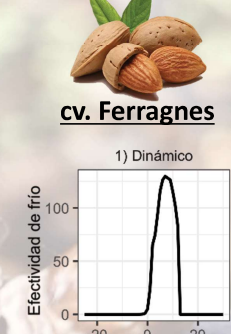
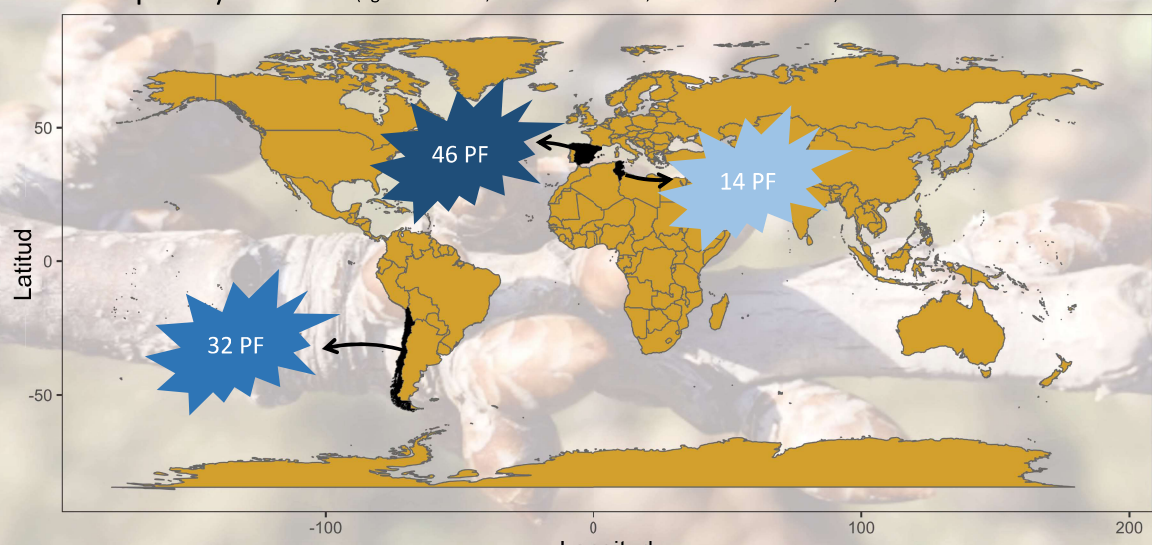
RCP8.5 2050

- Los modelos dinámico y Utah positivo muestran un comportamiento similar entre sitios y escenarios

- El modelo dinámico sería la mejor opción basada en su mayor enfoque biológico comparado con otras opciones

Problemas de los modelos de frío

- Estimaciones de RF difieren ampliamente entre regiones incluso para la misma especie y variedad (Egea et al. 2003; Ramírez et al. 2010; Benmoussa et al. 2017)

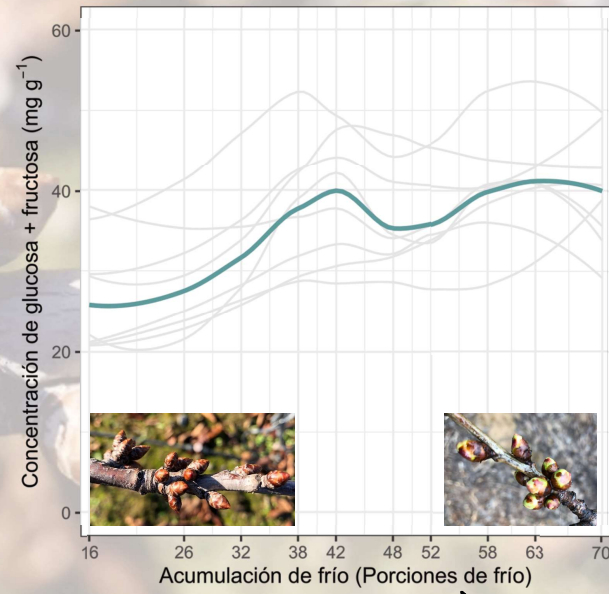
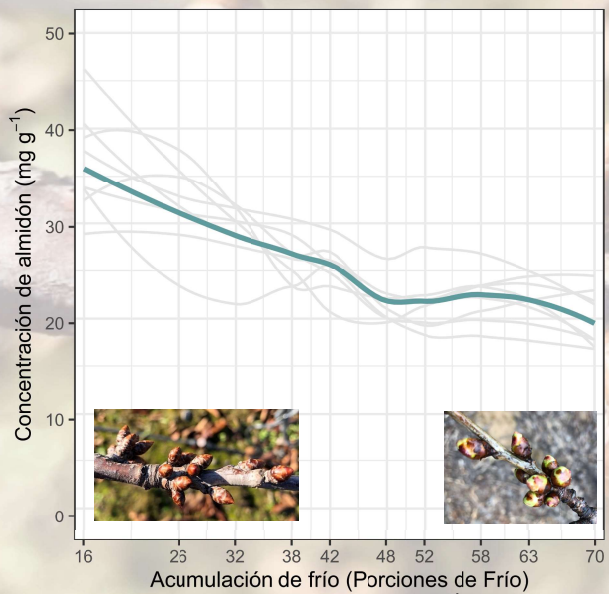


100 80 60 40 20 0

CHOs como marcadores fisiológicos

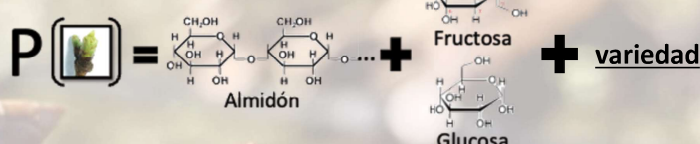


- **Almidón fue asociado con dormancia profunda mientras que hexosas fueron asociadas con la salida de la dormancia**



21

CHOs como marcadores fisiológicos



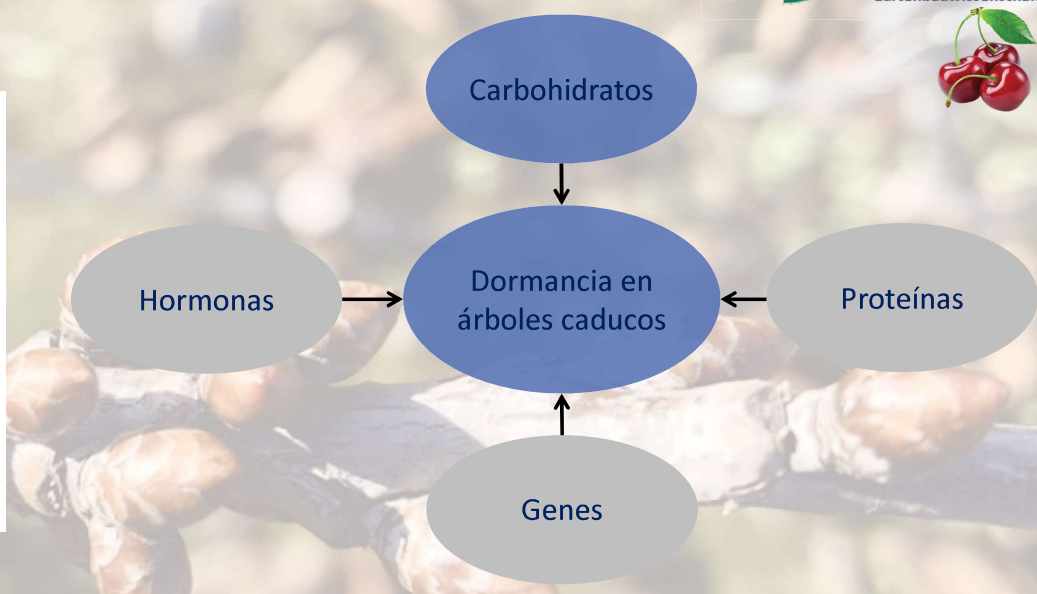
Coefficients	2.5% CI	Fitted by model	97.5% CI
a (intercept)	-7.0155	-2.5386	1.7797
b (hexoses)	0.1323	0.2252	0.3354
c (starch)	➤ Coeficiente positivo para hexosas → mayor probabilidad de brotación		
d (Kordia)	➤ Coeficiente negativo para almidón → menor probabilidad de brotación		
d (Lapins)	0.0614	2.0081	4.0894
d (Rainier)	-0.0730	2.1844	4.6712
d (Regina)	-0.1766	1.9534	4.2163
d (Santina)	-6.4313	-4.1352	-2.1270
d (Skeena)	-3.5120	-1.6011	0.1992
d (Sweetheart)	-2.4521	-0.3616	1.7378

22

CHOs como marcadores fisiológicos



Variety	Predicted probability*
Skeena	0.88
Rainier	0.87
Lapins	0.77
Santina	0.76
Regina	0.71
Bing	0.67
Kordia	0.64
Sweetheart	0.49

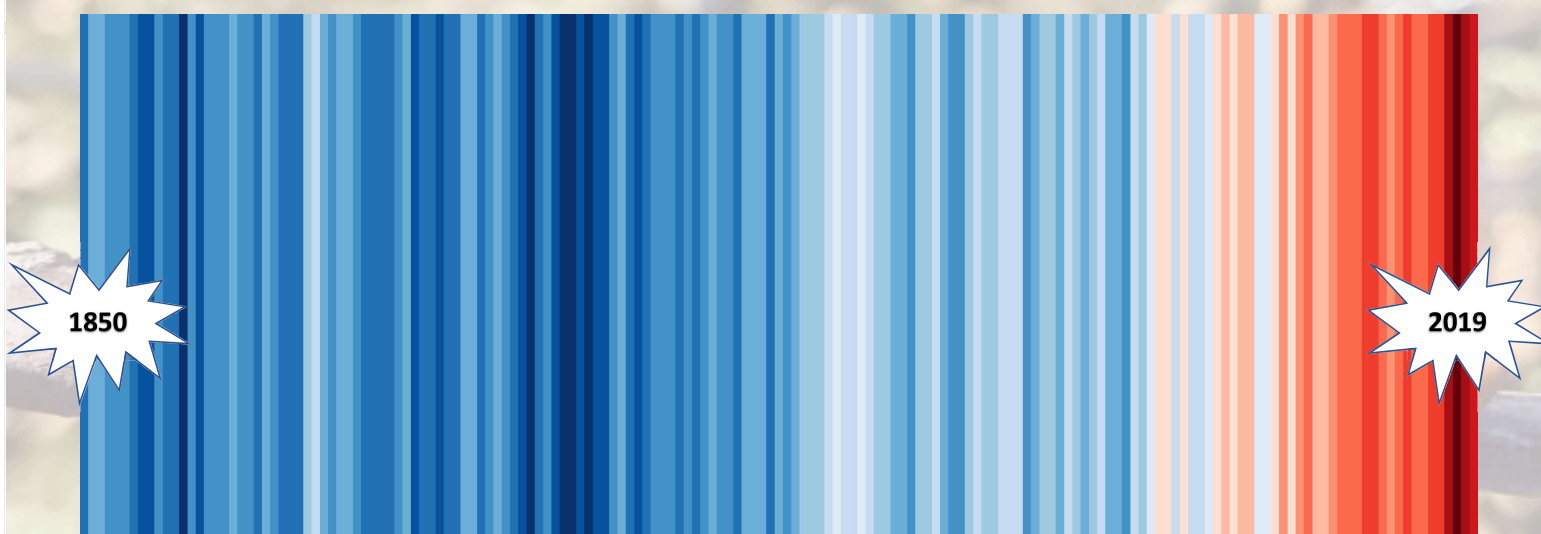


- **Modelos integrales basados en el proceso pueden mejorar sustancialmente las estimaciones de acumulación de frío especialmente en un contexto de cambio climático**

* La probabilidad se estimó con los parámetros ajustados por el modelo y las concentraciones medias de almidón y hexosas en tejido leñoso de cerezo

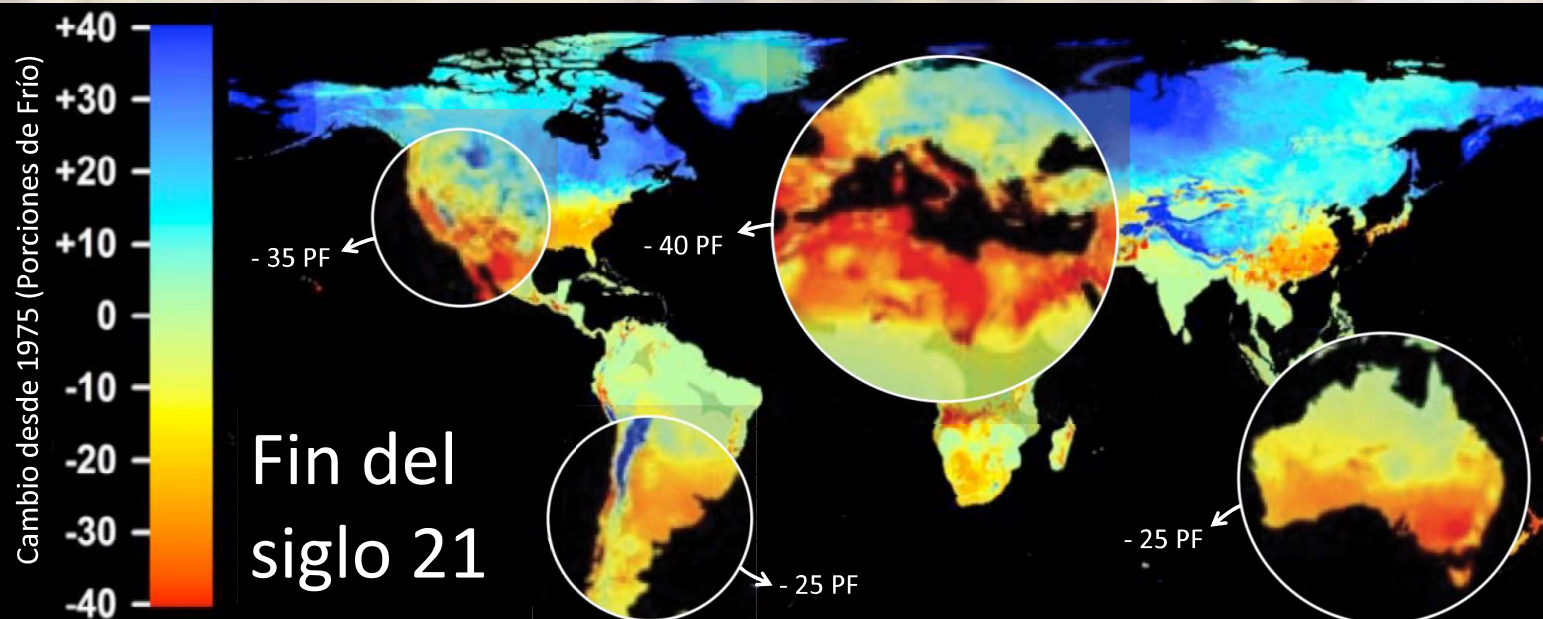
23

Calentamiento global



+1 °C hasta 2017 comparado con niveles pre-industriales (rango probable entre 0.8 y 1.2 °C)

Proyecciones de frío



Luedeling, E., Girvetz, E.H., Semenov, M.A., and Brown, P.H. 2011. *Plos ONE* 6(5), e20155

25

Calentamiento global y dormancia

- Niveles insuficientes de frío invernal pueden afectar la brotación y posiblemente el rendimiento potencial (Lavee and May 1997; Erez 2000)



➤ **Caída de yemas en casos extremos**

Proyecciones de frío actualizadas

- Conocer los niveles de frío para el futuro es crítico en la planificación y el manejo de huertos de frutales caducos (Campoy et al. 2011; Luedeling 2012)

Climatic Change (2020) 159:423–439
<https://doi.org/10.1007/s10584-019-02608-1>



Prospects of decreasing winter chill for deciduous fruit production in Chile throughout the 21st century

Eduardo Fernandez¹ • Cory Whitney¹ • Italo F. Cuneo² • Eike Luedeling¹

- Entregar un análisis local sobre los posibles impactos del cambio climático en árboles frutales caducifolios y proyectar niveles de frío para el futuro usando métodos actualizados

Campoy, J.A., Ruiz, D., and Egea, J. 2011. Sci. Hortic. 130, 357-372

Fernandez, E., Whitney, C., Cuneo, I.F., and Luedeling, E. 2020. Clim. Change 159, 423-439

Luedeling, E. 2012. Sci. Hortic. 144, 218-229

27

Estructura

Introducción

Modelos de frío

CHOs en dormancia

Proyecciones

Análisis de decisión

Conclusiones

UNIVERSITÄT BONN

INRES
Gartenbauwissenschaft

Selección de los sitios y escenarios

➤ Datos climáticos 1967 – 2017

➤ Generamos datos para 100 temporadas usando 51 escenarios históricos y 60 escenarios futuros

Todos los años

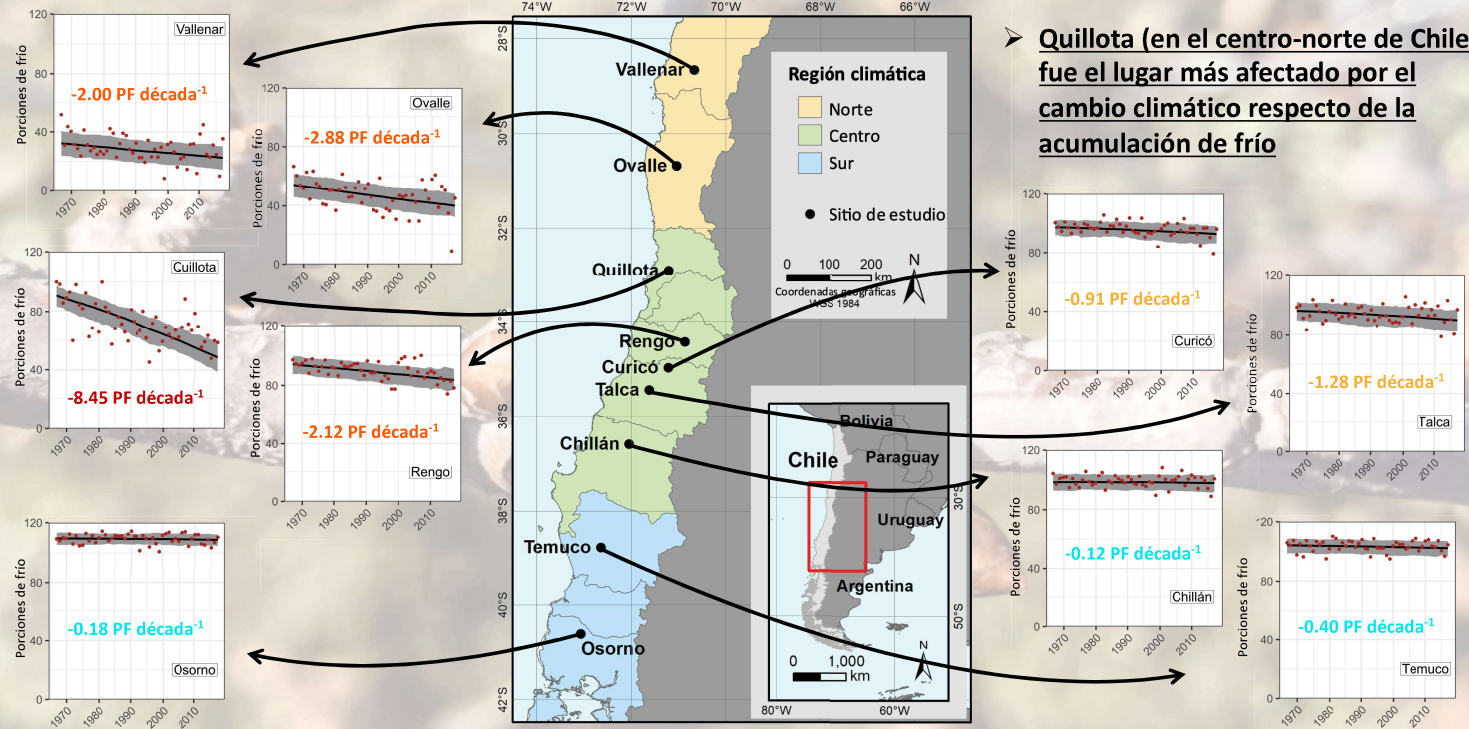
➤ Calculamos acumulación de frío para escenarios históricos y futuros

Luedeling, E., Zhang, M.H., and Girvetz, E.H. 2009. Plos ONE 4(7), 9

28

Variación de frío histórico

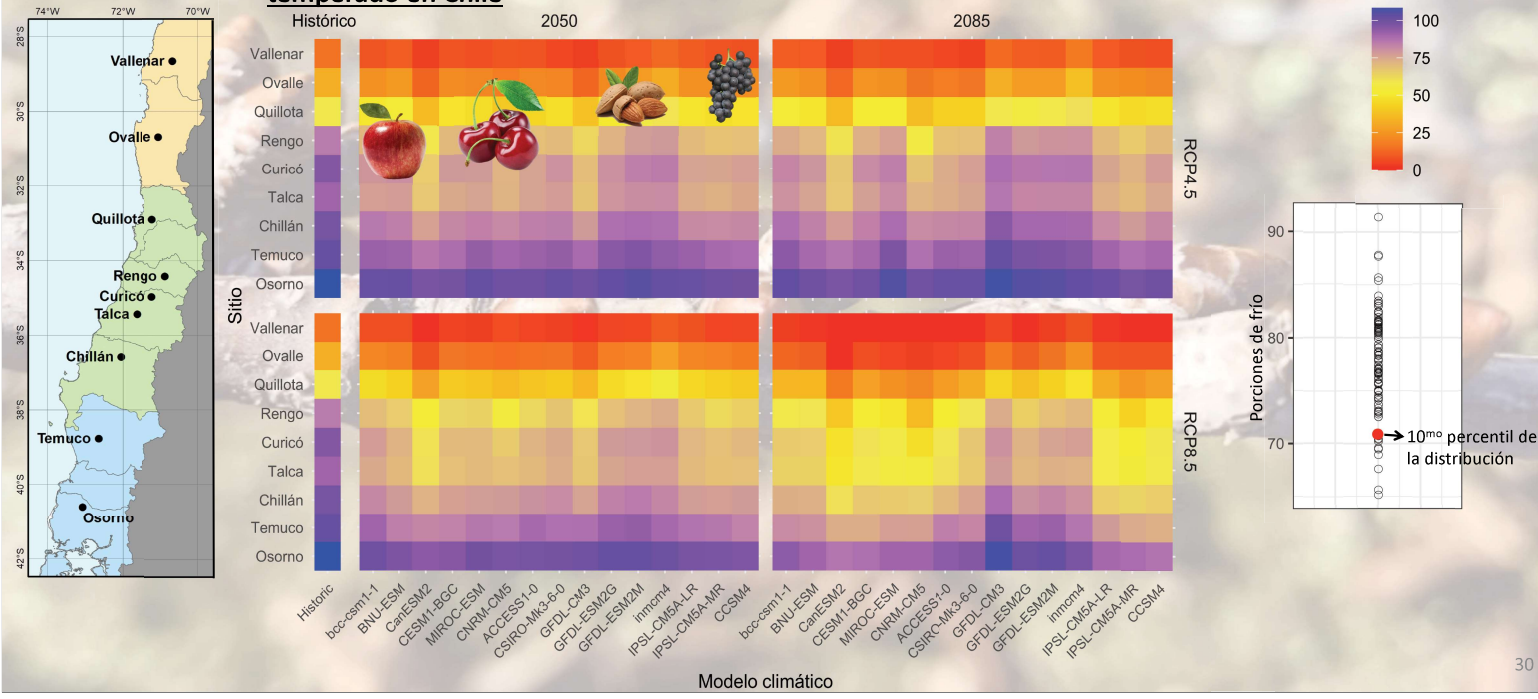
➤ **Quillota (en el centro-norte de Chile) fue el lugar más afectado por el cambio climático respecto de la acumulación de frío**



29

Proyecciones para el futuro

➤ **Reducciones de frío relevantes pueden poner en riesgo el cultivo de especies de clima templado en Chile**



30

El lado socio-económico de PASIT



- Phenological And **Social** Impacts of Temperature increase: climatic consequences for fruit production in Tunisia, Chile and Germany (PASIT)

Centro norte de Chile (Valparaíso, Metropolitana y O'Higgins)	Centro sur de Chile (Bío-Bío y Ñuble)
1.- Sequía	1.- <u>Eventos de heladas</u>
2.- <u>Eventos de heladas</u>	2.- <u>Lluvias de pre-cosecha</u>
3.- Variedades no adaptadas al clima	3.- Sequía
4.- <u>Variabilidad climática</u>	4.- Falta de polinizadores
5.- <u>Lluvias primaverales</u>	5.- Plagas



31

Estructura Introducción Modelos de frío CHOs en dormancia Proyecciones Análisis de decisión Conclusiones

UNIVERSITÄT
BONN

INRES
Gartenbauwissenschaft

El lado socio-económico de PASIT

- Como muchas decisiones de inversión, hay diversas incertidumbres involucradas

Actores relacionados

Proceso participatorio

Modelo transdisciplinario

Resultados más probables

Simulación

Mejorar la toma de decisiones

Estado del arte

Agricultores

Analistas

D

A

B

C

E

\$

-\$

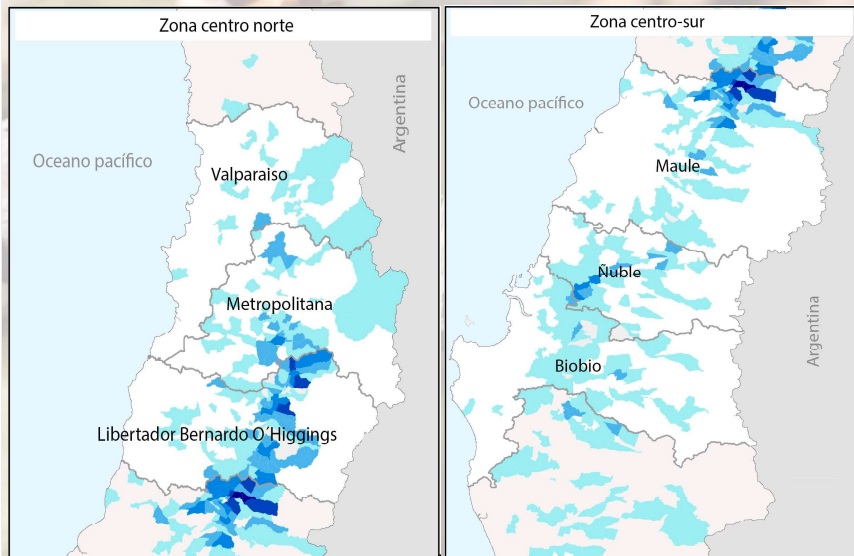
-\$

-\$

32

El lado socio-económico de PASIT

- Workshop con expertos para identificar variables, riesgos e incertidumbres asociadas a la decisión de implementar cubiertas



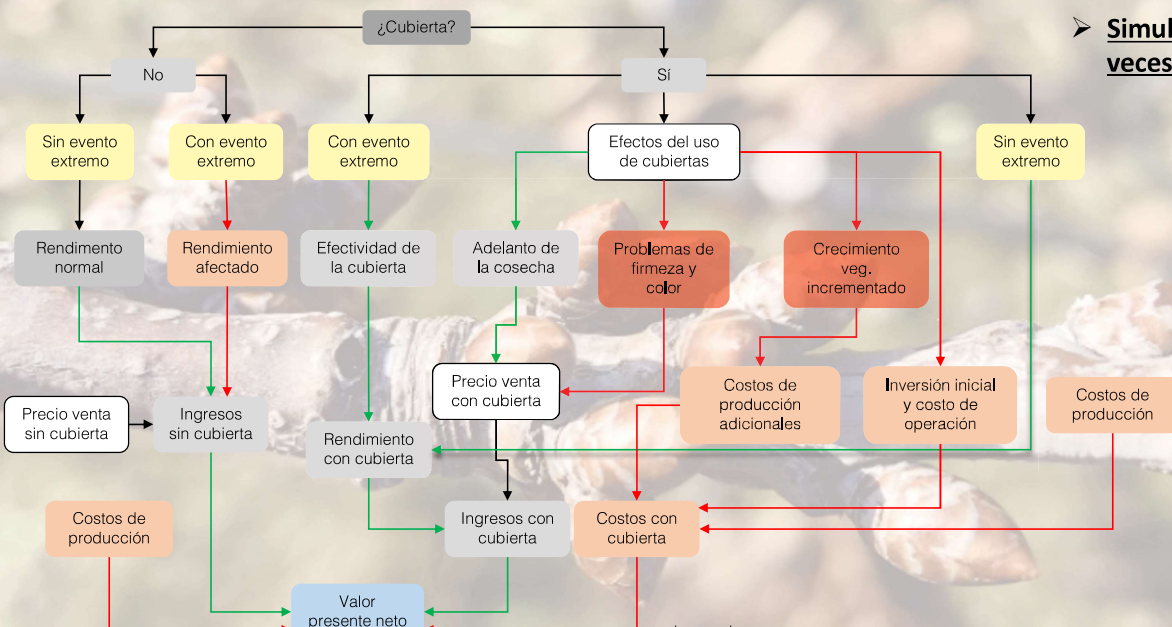
Expertos trabajando en identificar las principales variables que afectan la decisión

33

El lado socio-económico de PASIT



➤ Simulamos la función 10.000 veces



$$\text{Valor Presente Neto} = f(\dots)$$

Leyenda

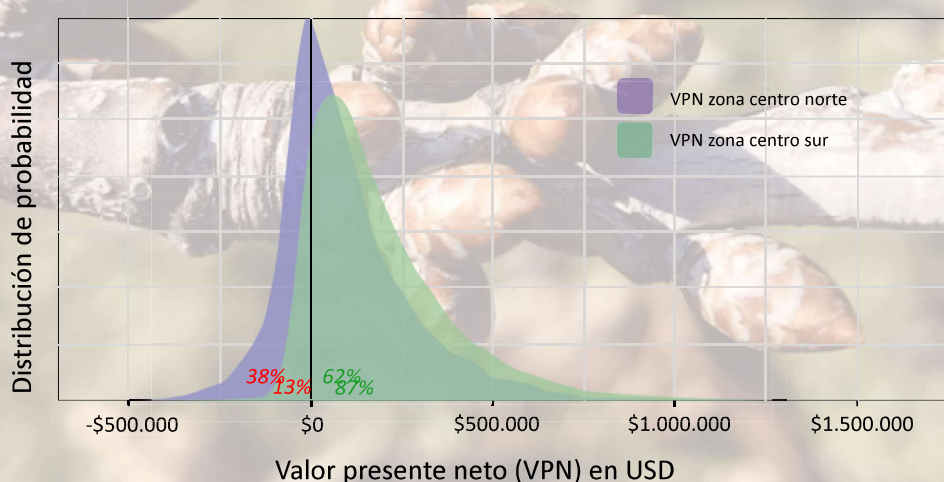
■ Decisión	■ Evento riesgoso
■ Opción para la decisión	■ Beneficios
■ Costos	■ Elemento negativo

■ Variable final	■ Efecto positivo
■ Variable general	■ Efecto negativo
■ Efecto neutro	→

34

El lado socio-económico de PASIT

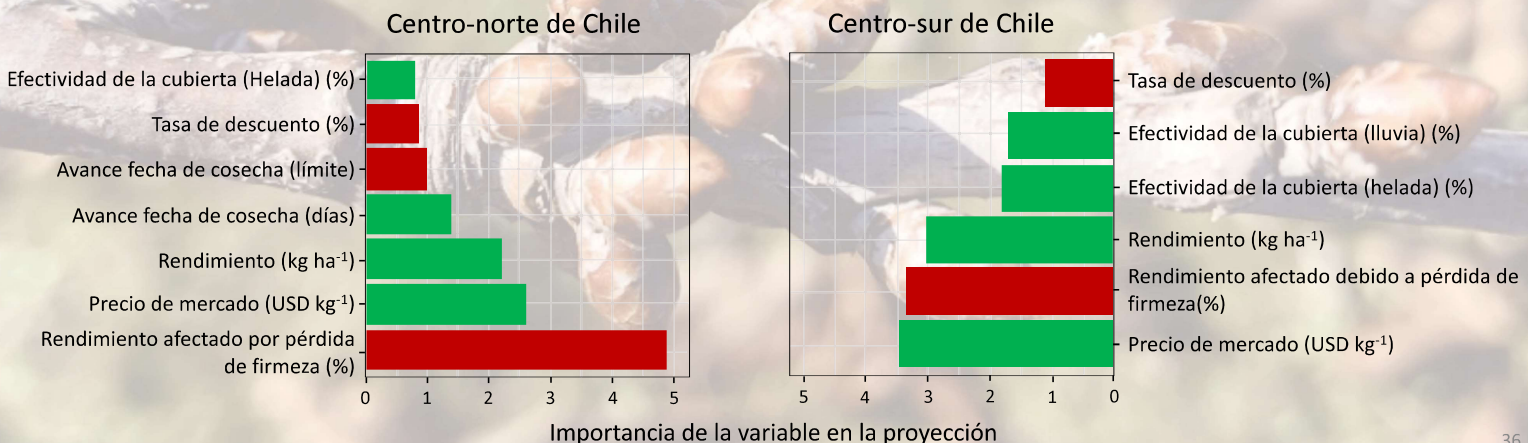
- **38% de probabilidad de tener retornos negativos al final del proyecto en la zona centro norte (62% para retornos positivos)**
- **13% de probabilidad de tener retornos negativos al final del proyecto en la zona centro sur (87% para retornos positivos)**



35

El lado socio-económico de PASIT

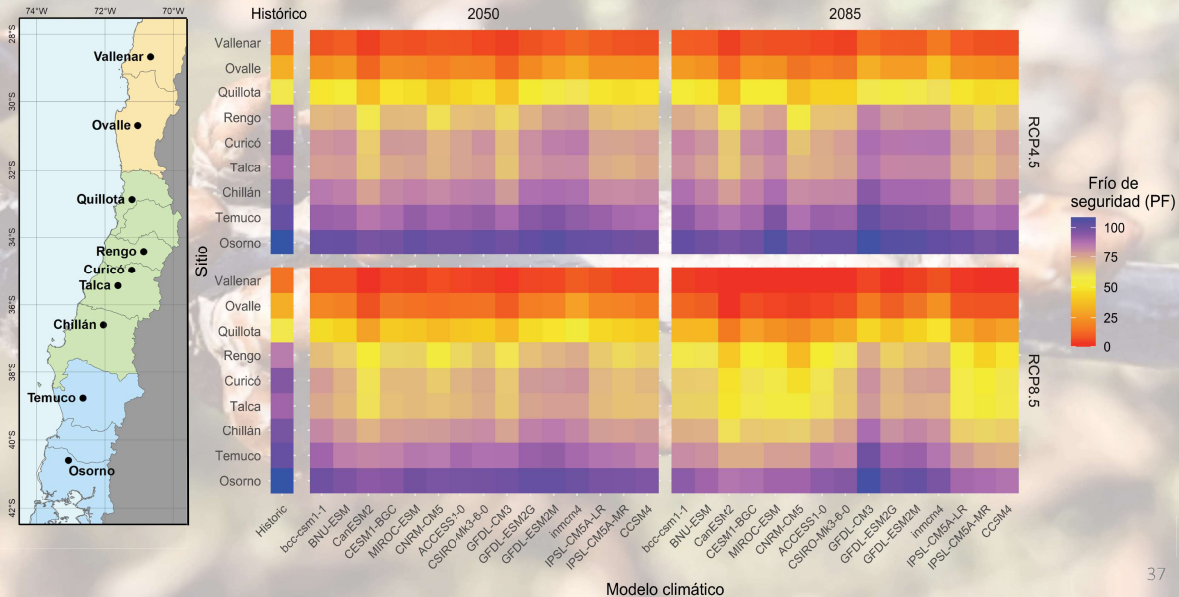
- **Problemas de firmeza, precio de mercado y rendimiento fueron las variables más importantes en ambas regiones**
- **La efectividad de la cubierta para proteger el cultivo aparece como una variable clave en la zona centro-sur debido a mayor probabilidad de lluvias primaverales y bajas temperaturas**



36

Conclusiones

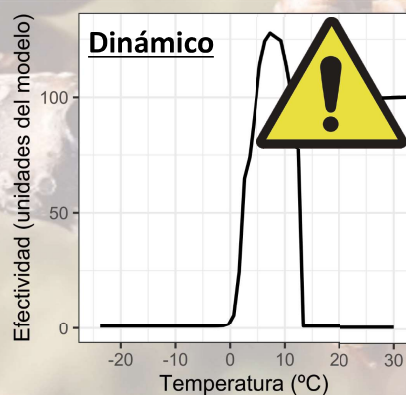
- Con alta probabilidad, áreas con clima Mediterráneo enfrentarán problemas importantes en el futuro cercano para romper la dormancia en árboles caducos**



37

Conclusiones

- Con alta probabilidad, áreas con clima Mediterráneo enfrentarán problemas importantes en el futuro cercano para romper la dormancia en árboles caducos**
- Los modelos de frío actualmente disponibles han demostrado ser inadecuados especialmente en climas con inviernos cálidos**



- Se necesita una herramienta “amigable” para promover su uso**
- Se necesita una re-parametrización especie-específica**

➤ **Necesitamos desarrollar mejores modelos!**

38

Conclusiones

- 1) Con alta probabilidad, áreas con clima Mediterráneo enfrentarán problemas importantes en el futuro cercano para romper la dormancia en árboles caducos
- 2) Los modelos de frío actualmente disponibles han demostrado ser inadecuados especialmente en climas con inviernos cálidos
- 3) Un enfoque más integrativo podría entregar un modelo que ayude a mejorar nuestras estimaciones de frío así como también nuestro conocimiento de la fase de dormancia



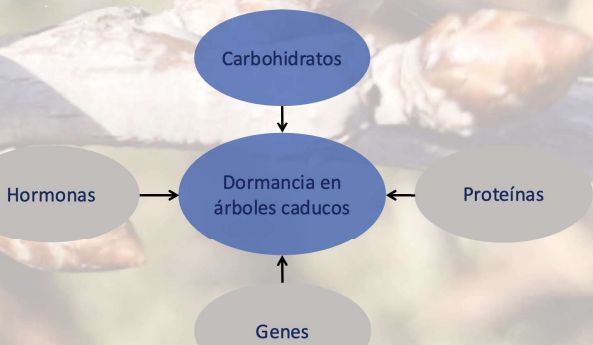
Review

A Conceptual Framework for Winter Dormancy in Deciduous Trees

Erica Fadón *^D, Eduardo Fernandez^D, Helen Behn and Eike Luedeling^B

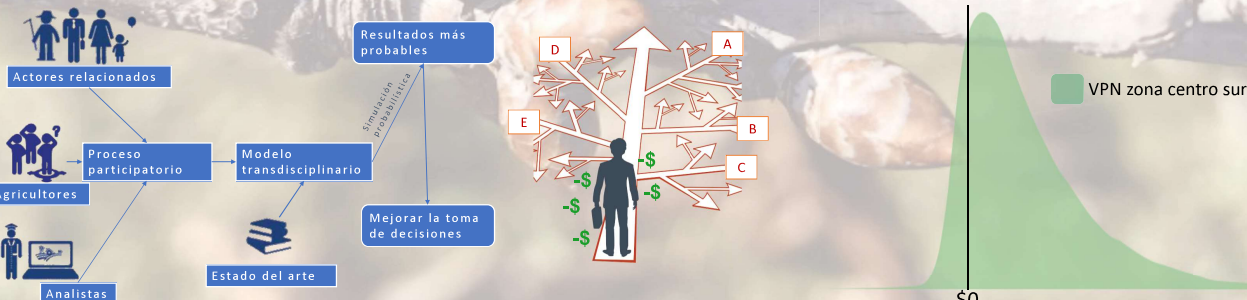
Fadón, E., Fernandez, E., Behn, H., and Luedeling, E. 2020. Agronomy 10, 241

39



Conclusiones

- 1) Con alta probabilidad, áreas con clima Mediterráneo enfrentarán problemas importantes en el futuro cercano para romper la dormancia en árboles caducos.
- 2) Los modelos de frío actualmente disponibles han demostrado ser inadecuados especialmente en climas con inviernos cálidos
- 3) Un enfoque más integrativo podría entregar un modelo que ayude a mejorar nuestras estimaciones de frío así como también nuestro conocimiento de la fase de dormancia
- 4) En general, los efectos del cambio climático involucran la toma de decisiones bajo altos niveles de incertidumbre y métodos participativos pueden ser una alternativa para apoyar dichos procesos



40

Dormancia en frutales caducifolios – Perspectivas para el cultivo en un clima cambiante

Principales resultados del proyecto *Phenological And Social Impacts of Temperature increase: climatic consequences for fruit production in Tunisia, Chile and Germany (PASIT)*

Dr. Agr. Eduardo Fernández

Department of Horticultural Science, Institute of Crop Science and Resource Conservation (INRES), University of Bonn

✉ efernand@uni-bonn.de

👤 @eduormancy

Martes 28 de Septiembre de 2021

